

# 多段階的ゲージ対称性の破れに伴うモノポールの解析

大阪大学 宮 福太朗 共同研究者：佐藤 亮介, 嶋守 聰一郎

## 知っていること

標準模型の中に  
't Hooft-Polyakov<sup>[1][2]</sup>  
モノポールは  
存在しない  
存在条件  $\Pi_2(G/H) \neq \{e\}$

標準模型の中に  
Cho-Maison<sup>[3]</sup>  
モノポールは  
存在する  
原点でエネルギー発散

## 問題提起

これらモノポールの関係性は?  
エネルギー発散はどうする?  
→ CKY模型<sup>[4]</sup>など  
(高次元演算子(10次元)導入)

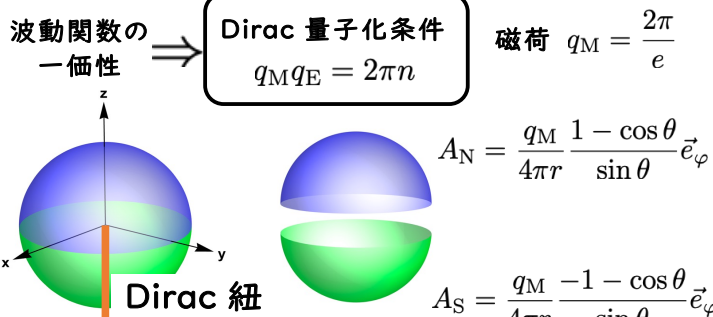
## 私の研究

UVでは 't Hooft Polyakov  
モノポール  
EFTでは Cho Maison  
モノポール  
UV模型でこれを示しました

### Dirac モノポール [5] $U(1)$

点電荷  $\vec{B} = \frac{q_M}{4\pi r^2} \frac{\vec{r}}{r} \iff \vec{A} = \frac{q_M}{4\pi r} \frac{1 - \cos\theta}{\sin\theta} \begin{pmatrix} -\sin\varphi \\ \cos\varphi \\ 0 \end{pmatrix}$   
 $\vec{B} = \vec{\nabla} \times \vec{A}$

ゲージ変換  $A_N = A_S + \partial_\mu \chi$  赤道上  $A_N \sim A_S$



### 't Hooft Polyakov モノポール<sup>[1][2]</sup> $SU(2) \rightarrow U(1)$

$\mathcal{L} = -\frac{1}{4} F^{a\mu\nu} F_{\mu\nu}^a + \frac{1}{2} (D^\mu \Phi)^a (D_\mu \Phi)^a - V(\Phi) \quad V(\Phi) = \frac{\lambda}{2} (\text{Tr} \Phi^2 - v^2)^2$

随伴表現  $\Phi = \Phi^a \frac{\sigma^a}{2} = \frac{1}{2} \begin{pmatrix} \Phi^3 & \Phi^1 - i\Phi^2 \\ \Phi^1 - i\Phi^2 & \Phi^3 \end{pmatrix}$

真空の配位  $\frac{dV}{d\Phi} = 0 \Rightarrow (\Phi^1)^2 + (\Phi^2)^2 + (\Phi^3)^2 = \frac{v^2}{2}$   
 $\langle \Phi \rangle \in S^2 \simeq SU(2)/U(1)$

#### Hedgehog 配位

$\Phi^a(x) = v_\Phi \chi(r) \frac{x^a}{r} \quad A_0^a = 0 \quad A_i^a = \frac{1}{e} (-f(r) + 1) \epsilon_{aij} \frac{x^j}{r^2}$

磁荷  $q_M = \int_{S^2} d\vec{S} \cdot \vec{B} = \frac{4\pi n}{e} \quad n \in \mathbb{Z}$

$\Phi : S_\infty^2 \rightarrow S_\text{vacuum}^2$

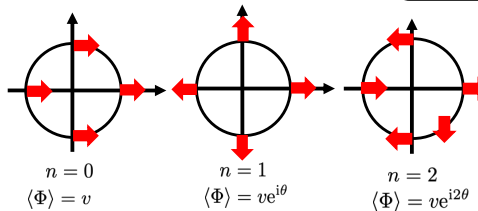
$\Pi_2(S^2) = \mathbb{Z}$

### 電弱理論<sup>[6][7]</sup> $SU(2)_L \times U(1)_Y \rightarrow U(1)_{EM}$

#### 簡単な例 $\langle \Phi \rangle \in S^1$

$V(\Phi) = \frac{\lambda}{2} (\Phi^2 - v^2)^2$

$\Pi_2 \left( \frac{SU(2)_L \times U(1)_Y}{U(1)_{EM}} \right) = \{e\}$



### 電弱模型 $SU(2)_L \times U(1)_Y \rightarrow U(1)_{EM}$

#### Hedgehog 配位<sup>[4]</sup>

$V(H) = \frac{\lambda}{2} (H^\dagger H - v^2)^2$   
 $H = \frac{1}{\sqrt{2}} \rho(r) \xi, \quad \xi = i \begin{pmatrix} \sin(\theta/2) e^{-i\varphi} \\ -\cos(\theta/2) \end{pmatrix}$   
 $\theta = \pi$  で配位が不定

$W_\mu^a = \frac{1}{g} A(r) \hat{\phi}^a \partial_\mu t + \frac{1}{g} [f(r) - 1] f^{abc} \hat{\phi}^b \partial_\mu \hat{\phi}^c$   
 $B_\mu = -\frac{1}{g'} B(r) \partial_\mu t - \frac{1}{g'} (1 - \cos\theta) \partial_\mu \varphi$   
 $\hat{\phi} = \xi^\dagger \sigma \xi = -\hat{r}$

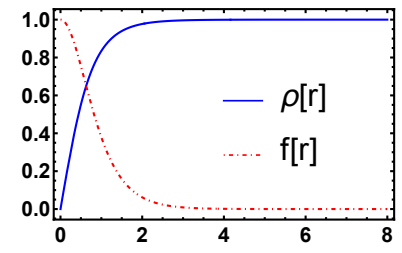
2枚のパッチで張られる

#### 運動方程式の解

$E = E_0 + E_1$

$E_0 \propto \int_0^\infty \frac{1}{r^2}$

原点でエネルギー発散



### UV模型 $SU(2)_L \times SU(2)_R \rightarrow SU(2)_L \times U(1)_Y \rightarrow U(1)_{EM}$

$SU(2)_L \times SU(2)_R$

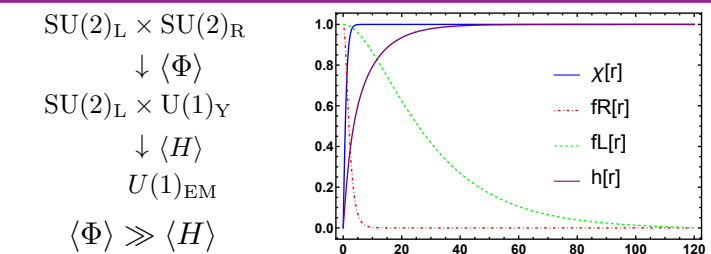
$\downarrow \langle \Phi \rangle$

$SU(2)_L \times U(1)_Y$

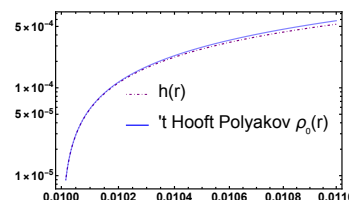
$\downarrow \langle H \rangle$

$U(1)_{EM}$

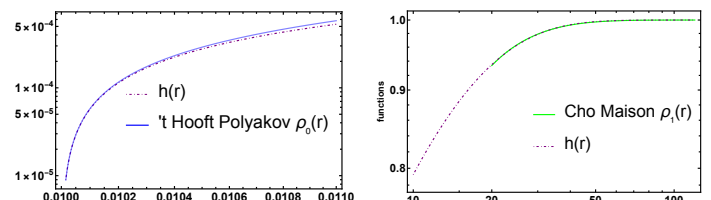
$\langle \Phi \rangle \gg \langle H \rangle$



#### 原点付近の振る舞い



#### 無限遠付近の振る舞い



#### Hedgehog 配位

$V(H, \Phi) = \frac{\lambda_\Phi}{2} (\text{Tr} \Phi^2 - |v_\Phi|^2)^2 + \frac{\lambda_H}{2} (\text{Tr} H^\dagger H - |v_H|^2)^2 + \frac{\lambda'}{2} \text{Tr} (H^\dagger H H^\dagger H)$   
 $\Phi^a(x) = v_\Phi \chi(r) \frac{x^a}{r} \quad H(x) = \frac{v_H}{2} \sqrt{\frac{\lambda_H}{\lambda_H + \lambda'}} h(r) \begin{pmatrix} 1 + \cos\theta & e^{-i\varphi} \sin\theta \\ e^{i\varphi} \sin\theta & 1 - \cos\theta \end{pmatrix}$   
 $W_{Ri}^a = \frac{1}{g_R} (-f_R(r) + 1) \epsilon_{aij} \frac{x^j}{r^2} \quad W_{Li}^a = \frac{1}{g_L} (-f_L(r) + 1) \epsilon_{aij} \frac{x^j}{r^2} \quad W_{L0}^a = W_{R0}^a = 0$

#### 展望

- Pati-Salam 模型の低エネルギー領域では Cho Maison モノポール解が構成されていることを見る。
- 対応するUV理論の対称性の破れ方でモノポール解が分類できるか調べる。  
 $SO(10) \rightarrow SU(4)_c \times SU(2)_L \times SU(2)_R$